

Н. В. ГОЛУБЕВА

**МАТЕМАТИЧЕСКОЕ МОДЕЛИРОВАНИЕ СИСТЕМ И
ПРОЦЕССОВ**

ЧАСТЬ 3

ОМСК 2017

Министерство транспорта Российской Федерации
Федеральное агентство железнодорожного транспорта
Омский государственный университет путей сообщения

Н. В. Голубева

МАТЕМАТИЧЕСКОЕ МОДЕЛИРОВАНИЕ СИСТЕМ И
ПРОЦЕССОВ

Часть 3

Утверждено методическим советом университета
в качестве учебно-методического пособия
к выполнению лабораторных работ и самостоятельной работы
по дисциплинам «Математическое моделирование систем и процессов»,
«Численные методы моделирования» и
«Вычислительная техника в инженерных задачах»

Омск 2017

УДК 519.65(075.8)
ББК 22.19я73
Г62

Математическое моделирование систем и процессов: Учебно-методическое пособие к выполнению лабораторных работ и самостоятельной работы. Часть 3 / Н. В. Голубева; Омский гос. ун-т путей сообщения. Омск, 2017. 37 с.

Рассматриваются математические модели различных классов, методы их решения и графического отображения результатов моделирования средствами интегрированной среды РТС Mathcad Prime 3.1.

Предназначено для студентов 2-го и 3-го курсов, обучающихся по специальностям «Системы обеспечения движения поездов», «Электроэнергетика и электротехника», «Подвижной состав железных дорог», «Эксплуатация железных дорог»; по направлениям подготовки «Стандартизация и метрология», «Конструкторско-технологическое обеспечение машиностроительных производств», «Теплоэнергетика и теплотехника», «Наземные транспортно-технологические комплексы»; для студентов заочной формы обучения и для обучения с использованием дистанционных образовательных технологий.

Библиогр.: 5 назв. Табл. 4.

Рецензенты: доктор техн. наук, профессор В. Н. Горюнов;
доктор техн. наук, профессор В. А. Нехаев.

ОГЛАВЛЕНИЕ

Введение	5
Лабораторная работа 7. Математические модели в форме обыкновенных дифференциальных уравнений первого порядка и методы их решения	6
7.1. Постановка задачи	6
7.2. Информация к выполнению задания 1	6
7.3. Информация к выполнению задания 2	8
7.4. Информация к выполнению задания 3	9
7.5. Информация к выполнению задания 4	11
7.6. Задания	12
Лабораторная работа 8. Математические модели в форме систем обыкновенных дифференциальных уравнений и дифференциальных уравнений n-го порядка	14
8.1. Численное решение модели в форме системы ОДУ	14
8.2. Информация к выполнению задания 1.а	15
8.3. Информация к выполнению задания 1.б	17
8.4. Информация к выполнению задания 1.в	18
8.5. Численное решение модели в форме ОДУ третьего порядка ...	20
8.6. Задания	22
Лабораторная работа 9. Реализация типовых моделей случайных последовательностей при формировании стохастических моделей физических систем	26
9.1. Постановка задачи	26
9.2. Информация к выполнению задания 1	26
9.3. Информация к выполнению задания 2	31
9.4. Задания	35
Библиографический список	36

ВВЕДЕНИЕ

Важнейшей частью программы подготовки современного специалиста – выпускника технического университета – является обучение его основам, приемам и инструментам математического моделирования – главного научного метода познания – и формирование у него соответствующих профессиональных компетенций. Решение научных и инженерно-технических задач, связанных с исследованием и проектированием технических систем, оптимизацией их параметров или структуры, оптимальным управлением объектом или прогнозированием его поведения, изучением механизма явлений, осуществляется на основе математического моделирования.

Учебно-методическое пособие по дисциплинам «Математическое моделирование систем и процессов», «Численные методы моделирования» и «Вычислительная техника в инженерных задачах» состоит из пяти частей.

Настоящее учебно-методическое пособие включает в себя три лабораторные работы. В седьмой лабораторной работе рассматриваются математические модели в форме обыкновенных дифференциальных уравнений первого порядка и возможности реализации численных методов их решения в среде РТС Mathcad Prime 3.1. Лабораторная работа 8 нацелена на получение навыков и умения численного решения систем обыкновенных дифференциальных уравнений и дифференциальных уравнений n -го порядка и освоение метода качественного анализа динамических систем. В лабораторной работе 9 рассматриваются принципы и особенности реализации типовых моделей двух классов случайных последовательностей, используемых при формировании стохастических моделей физических систем. В процессе выполнения лабораторных работ студент должен уяснить важность правильной постановки задачи, выбора метода ее решения и способа отображения результатов моделирования и умения правильно интерпретировать их.

Учебно-методическое пособие предназначено для студентов 2-го и 3-го курсов очного и заочного обучения, а также для обучения с использованием дистанционных образовательных технологий.

МАТЕМАТИЧЕСКИЕ МОДЕЛИ В ФОРМЕ ОБЫКНОВЕННЫХ ДИФФЕРЕНЦИАЛЬНЫХ УРАВНЕНИЙ ПЕРВОГО ПОРЯДКА И МЕТОДЫ ИХ РЕШЕНИЯ

7.1. Постановка задачи

Решение многих научно-технических задач, связанных с проектированием и исследованием технических систем, базируется на математическом моделировании различных элементов и устройств обыкновенными дифференциальными уравнениями (ОДУ). Математический аппарат ОДУ используется в механике, физике, электронике, электротехнике, теории автоматического управления, радиотехнике, гидродинамике для описания процессов и объектов различной физической природы.

Данная лабораторная работа посвящена динамическим математическим моделям в форме ОДУ первого порядка и численным методам их решения. Особое внимание уделяется постановке задачи Коши, ее решению различными методами и средствами РТС Mathcad Prime 3.1, представлению результатов решения в графическом виде.

Дана математическая модель в форме ОДУ первого порядка, принадлежащая классу **линейных нестационарных** моделей:

$$(t^2 + 9) \frac{dy(t)}{dt} + 19,5 t y(t) - 7 = 0.$$

Требуется найти численное решение данного ОДУ на отрезке $[0; 8]$ при начальных условиях $y(t_0) = 0,24$, т. е. решить задачу Коши различными методами и различными средствами РТС Mathcad Prime 3.1; получить семейство интегральных кривых, варьируя начальные условия; выявить зависимость результатов моделирования от числа шагов интегрирования; ответить на контрольные вопросы.

7.2. Информация к выполнению задания 1

Применение Блока решения РТС Mathcad Prime 3.1 для решения ОДУ имеет свои особенности.

Сначала в верхнюю строку вводится обыкновенное дифференциальное уравнение в естественной математической форме. При этом производ-

ная задается либо с помощью оператора производной $\frac{d}{dt}$, либо с помощью оператора «штрих» f' с вкладки Математика \Rightarrow группа Операторы и символы \Rightarrow список Операторы.

Искомая функция y представляется как функция независимой переменной $t - y(t)$.

В следующей строке задаются начальные условия.

При записи ОДУ и начальных условий необходимо применять логический оператор «равно» $=$.

В раздел Решатель вводится встроенная функция `odesolve(y(t), tk)`, которая реализует решение задачи Коши численным методом Адамса – Башфорта. Аргументы функции `odesolve`: $y(t)$ – искомая функция; t_k – правая граница интервала интегрирования $[t_0; t_k]$, на котором требуется найти решение ОДУ.

Пример выполнения задания 1.

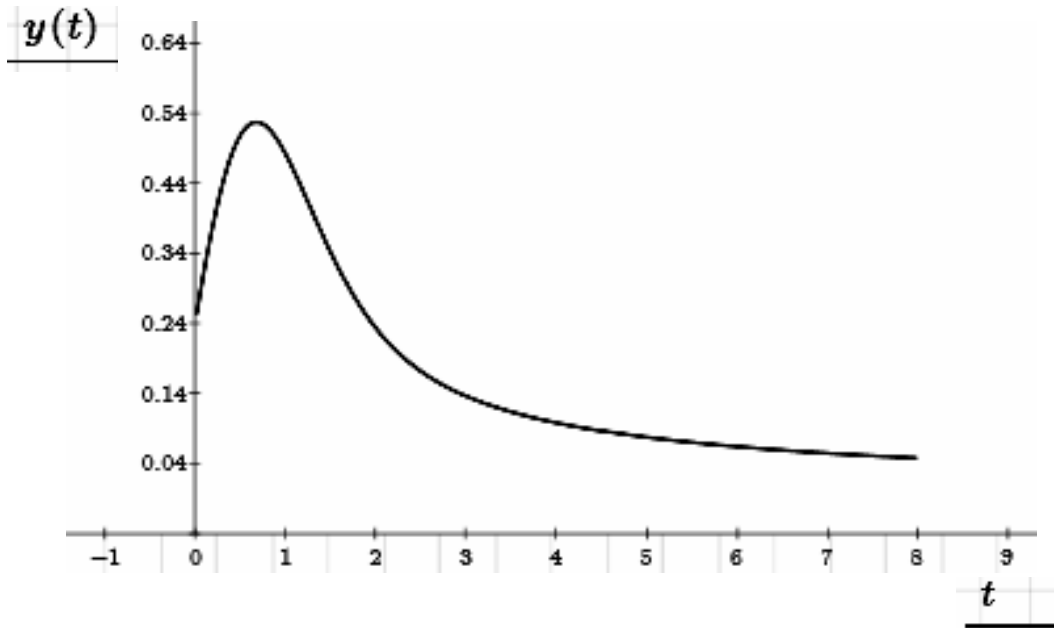
Решение задачи Коши для заданного ОДУ с помощью Блока решения и встроенной функции `odesolve()`:

ORIGIN:=0

Решатель Начальное приближение

$$(t^2 + 9) \cdot \frac{d}{dt} y(t) + 19.5 \cdot t \cdot y(t) - 7 = 0$$
$$y(0) = 0.24$$
$$y := \text{odesolve}(y(t), 8)$$

Интегральная кривая – график решения $y(t)$:



7.3. Информация к выполнению задания 2

Встроенная функция `rkfixed(y, t0, tk, n, D)` реализует численное решение задачи Коши на отрезке $[t_0; t_k]$ методом Рунге – Кутты четвертого порядка с фиксированным шагом. Параметры функции `rkfixed`: y – начальные условия; n – число шагов интегрирования (количество точек, в которых определяется приближенное решение ОДУ); D – функция, содержащая правую часть ОДУ, приведенного к форме Коши или к нормальной форме, т. е. разрешенного относительно первой производной.

Результат функции `rkfixed` выдается в виде матрицы Yrk , состоящей из $(n + 1)$ строк и двух столбцов: первый столбец ($Yrk^{(0)}$) содержит значения аргумента t , второй ($Yrk^{(1)}$) – значения искомой функции $y(t)$.

На экран выводится только верхний фрагмент матрицы Yrk . Чтобы увидеть остальные элементы матрицы Yrk , следует щелкнуть по ней ЛКМ. При этом слева появляются порядковые номера строк матрицы. Поместить указатель мыши в самую нижнюю строку под знаком « \vdots ». Добиться, чтобы указатель принял форму \longleftrightarrow , после чего посредством ЛКМ перемещать его вниз.

Пример выполнения задания 2.

Решение задачи Коши с помощью встроенной функции `Rkfixed`:

$$y_0 := 0.24$$

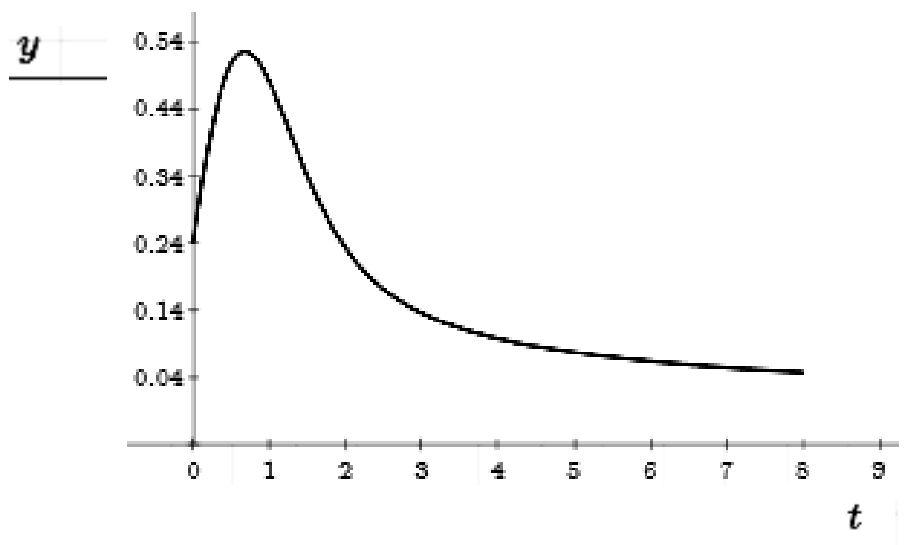
$$D(t, y) := \frac{-19.5 \cdot t \cdot y_0 + 7}{t^2 + 9}$$

$$Yrk := rkfixed(y, 0, 8, 500, D)$$

Матрица решения Yrk и интегральная кривая – график решения $y(t)$:

$$Yrk = \begin{matrix} & 0 & \begin{bmatrix} 0 & 0.24 \end{bmatrix} \\ 1 & \begin{bmatrix} 0.016 & 0.252 \end{bmatrix} \\ 2 & \begin{bmatrix} 0.032 & 0.265 \end{bmatrix} \\ 3 & \begin{bmatrix} 0.048 & 0.277 \end{bmatrix} \\ 4 & \begin{bmatrix} 0.064 & 0.289 \end{bmatrix} \\ 5 & \begin{bmatrix} 0.08 & 0.3 \end{bmatrix} \\ 6 & \begin{bmatrix} 0.096 & 0.312 \end{bmatrix} \\ 7 & \begin{bmatrix} 0.112 & 0.323 \end{bmatrix} \\ 8 & \begin{bmatrix} 0.128 & 0.334 \end{bmatrix} \\ \vdots & \vdots \\ 500 & \vdots \end{matrix}$$

$$t := Yrk^{(0)} \quad y := Yrk^{(1)}$$



7.4. Информация к выполнению задания 3

Встроенная функция $Rkadapt(y_0, t_0, t_k, n, D)$ реализует решение задачи Коши на отрезке $[t_0; t_k]$ методом Рунге – Кутты четвертого порядка с шагом интегрирования, адаптивно выбираемым в зависимости от характера изменения функции $y(t)$. Параметры y_0, t_0, t_k, n, D функции $Rkadapt$ аналогичны параметрам функции $rkfixed$.

Результат функции `Rkadapt` выдается в виде матрицы `Yrkad` размером $(n+1) \times 2$.

Пример выполнения задания 3.

Решение задачи Коши с помощью встроенной функции `Rkadapt`:

```
clear(y)
y_0:=0.24
D(t,y):=

$$\frac{-19.5 \cdot t \cdot y_0 + 7}{t^2 + 9}$$

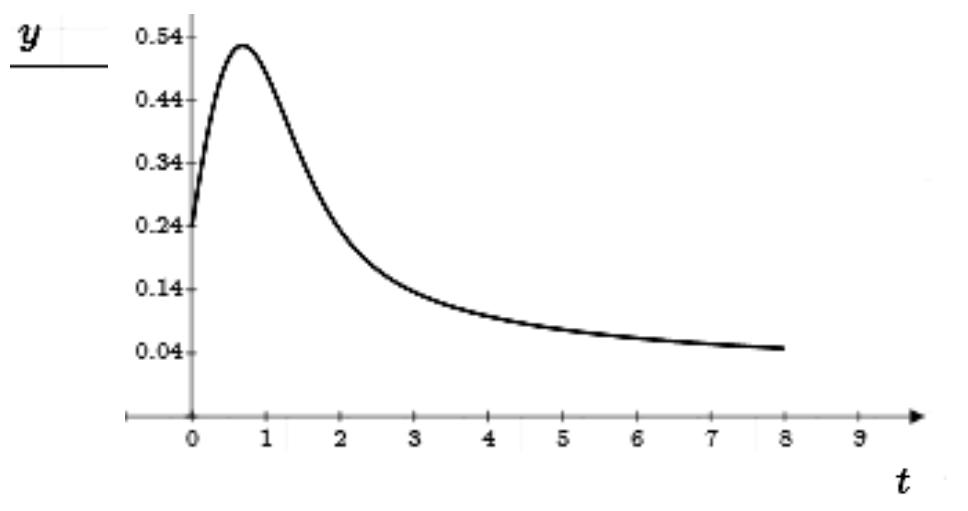
Yrkad:=Rkadapt(y,0,8,500,D)
```

Матрица решения `Yrkad` и интегральная кривая – график решения $y(t)$:

$Yrkad =$

0	0	0.24
1	0.016	0.252
2	0.032	0.265
3	0.048	0.277
4	0.064	0.289
5	0.08	0.3
6	0.096	0.312
7	0.112	0.323
8	0.128	0.334
⋮	⋮	⋮
500		

$t := Yrkad^{(0)}$ $y := Yrkad^{(1)}$



7.5. Информация к выполнению задания 4

Для получения нескольких интегральных кривых из семейства интегральных кривых заданного ОДУ необходимо варьировать начальные условия y_0 . Для отображения четырех кривых, соответствующих разным начальным условиям, в одной графической области надо использовать разные обозначения для столбца $Yrk^{(1)}$, содержащего значения искомой функции y .

Пример выполнения задания 4.

Получение четырех кривых из семейства интегральных кривых заданного ОДУ с помощью встроенной функции `rkfixed`:

```
clear(y)

y_0 := 0.5
D(t,y) := 
$$\frac{-19.5 \cdot t \cdot y_0 + 7}{t^2 + 9}$$

Yrk := rkfixed(y, 0, 8, 500, D)
t := Yrk(0)      y_0.5 := Yrk(1)

y_0 := 1.5
D(t,y) := 
$$\frac{-19.5 \cdot t \cdot y_0 + 7}{t^2 + 9}$$

Yrk := rkfixed(y, 0, 8, 500, D)
t := Yrk(0)      y_1.5 := Yrk(1)

y_0 := 3
D(t,y) := 
$$\frac{-19.5 \cdot t \cdot y_0 + 7}{t^2 + 9}$$

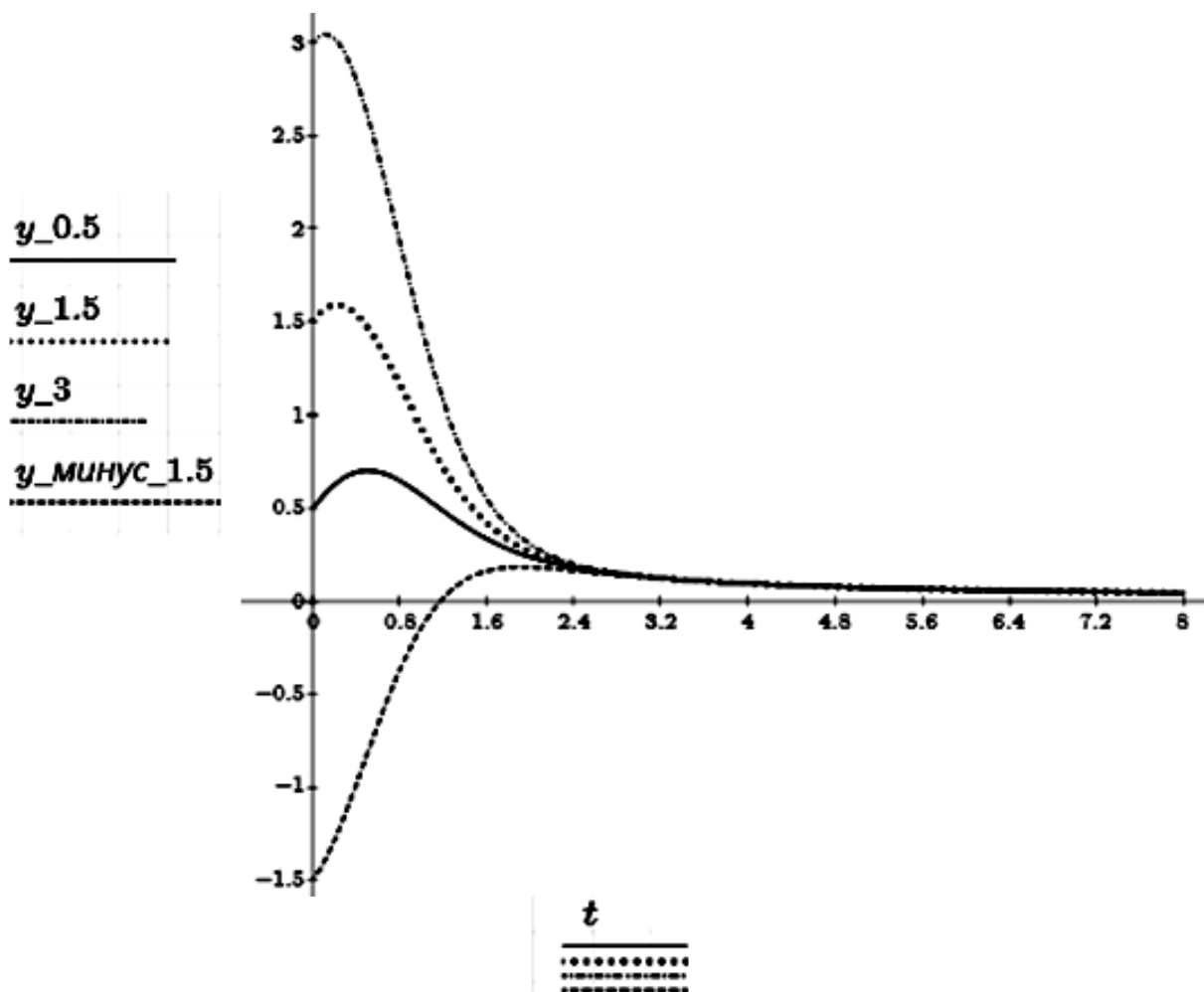
Yrk := rkfixed(y, 0, 8, 500, D)
t := Yrk(0)      y_3 := Yrk(1)
```

```

y_0 := -1.5
D(t,y) := 
$$\frac{-19.5 \cdot t \cdot y_0 + 7}{t^2 + 9}$$

Yrk := rkfixed(y, 0, 8, 500, D)
t := Yrk(0)    y_минус_1.5 := Yrk(1)

```



7.6. Задания

- 1) Решить задачу Коши для заданной модели (табл. 7.1) с помощью Блока решения и встроенной функции `odesolve()`.
- 2) Решить задачу Коши для заданной модели (см. табл. 7.1) с помощью встроенной функции `rkfixed`.
- 3) Решить задачу Коши для заданной модели (см. табл. 7.1) с помощью встроенной функции `Rkadapt`.

4) Построить четыре кривые из семейства интегральных кривых заданной модели с помощью встроенной функции `rkfixed`.

5) Ответить на *контрольные вопросы*:

а) к какому классу принадлежит исследуемая математическая модель с точки зрения классификации по форме представления?

б) определить характер модели;

в) раскрыть понятия «общее решение ОДУ», «частное решение ОДУ»;

г) сформулировать постановку задачи Коши;

д) к какому классу относятся методы решения моделей в форме ОДУ, примененные в данной лабораторной работе;

е) в чем суть (особенность) численных методов решения ОДУ;

ж) чем определяется порядок и точность численного метода;

з) какие средства Mathcad вы использовали для решения модели в форме ОДУ первого порядка? В чём особенность каждого из них?

Т а б л и ц а 7.1

Математические модели в форме ОДУ первого порядка

Вариант	Математическая модель	Начальные условия	Интервал
1	2	3	4
1	$y'(t) + 6,3t^2 y(t) - 1,7\sqrt{t} = 0$	$y(0) = -1,1$	$[0; 5]$
2	$2,1y'(t) + \sqrt{t} \sin y(t) = 0$	$y(0) = -1$	$[0; 7]$
3	$\frac{12}{t+7,7} y'(t) - \frac{3,7}{y(t)t^3+2} = 0$	$y(0) = 1$	$[0; 7]$
4	$(t+1,7)y'(t) + \frac{38\cos(1,3t)}{4,2y(t)+4,7} = 0$	$y(0) = 2$	$[0; 20]$
5	$y'(t) + 4,6\sqrt{t} + \frac{3y(t)}{5,2+t} - 11 = 0$	$y(0) = 5,5$	$[0; 10]$
6	$1,3y'(t) - \frac{5+ty(t)}{\sin t - 1,5} = 0$	$y(0) = -2$	$[0; 12]$
7	$3,3y'(t) + (y(t) + 5,7)y(t) = 0$	$y(0) = 1,2$	$[0; 4]$

1	2	3	4
8	$y'(t) + \frac{0,11}{t+0,6} \sin(4,7t) y(t) = 0$	$y(0) = 1$	$[0; 14]$
9	$0,7y'(t) + \frac{y(t)}{t^3 + 1,8} = 0$	$y(0) = 10$	$[0; 8]$
10	$(t+3,8)y'(t) + 8\cos(2t^2)y(t) = 0$	$y(0) = 3$	$[0; 6]$
11	$y'(t) - (1,6t y(t) + 0,2)y(t) + 7 = 0$	$y(0) = 2$	$[0; 10]$
12	$y'(t) + 0,45y(t) + 2,7\sin(3,14t) = 0$	$y(0) = 5$	$[0; 17]$
13	$0,5y(t)y'(t) + 0,7\sqrt{t}y(t) - 0,64 = 0$	$y(0) = 4,5$	$[0; 15]$
14	$y'(t) + \frac{5,5ty(t)}{\cos(3t) + 2,7} - 7 = 0$	$y(0) = -4$	$[0; 14]$
15	$5.3y'(t) - y(t)(y(t) - 4\sqrt{t}) = 0$	$y(0) = -3$	$[0; 9]$

Лабораторная работа 8

МАТЕМАТИЧЕСКИЕ МОДЕЛИ В ФОРМЕ СИСТЕМ
ОБЫКНОВЕННЫХ ДИФФЕРЕНЦИАЛЬНЫХ УРАВНЕНИЙ И
ДИФФЕРЕНЦИАЛЬНЫХ УРАВНЕНИЙ n -ГО ПОРЯДКА

8.1. Численное решение модели в форме системы ОДУ

Численное решение системы ОДУ предполагает ее представление в форме Коши или в нормальной форме:

[illegible]

Задача Коши для системы ОДУ формулируется так: *найти решение системы ОДУ, удовлетворяющее начальным условиям:* $y_1(t_0) = y_{10}; y_2(t_0) = y_{20}; \dots; y_n(t_0) = y_{n0}$.

В векторной форме нормальная система ОДУ имеет вид:

$$Y' = F(t, Y) \text{ при } Y(t_0) = Y_0.$$

Дана математическая модель в виде системы двух ОДУ первого порядка в нормальной форме:

$$\begin{cases} y_1' = -3y_1 - y_2^2 - 11,7y_2; \\ y_2' = -y_2 - 0,3y_1^2 + y_1y_2. \end{cases} \quad (8.2)$$

Требуется найти численное решение данной системы ОДУ на отрезке $[0; 4]$ при начальных условиях $y_1(t_0) = 3, y_2(t_0) = -1$, т. е. решить задачу Коши.

8.2. Информация к выполнению задания 1.а

В Блок решения последовательно вводятся первое дифференциальное уравнение заданной системы ОДУ, начальные условия для первой искомой функции y_1 , в следующую строку – второе дифференциальное уравнение системы ОДУ, начальные условия для второй искомой функции y_2 . При этом производные задаются либо с помощью оператора производной $\frac{d}{dt}$, либо с помощью оператора «штрих» f' с вкладки Математика \Rightarrow группа Операторы и символы \Rightarrow список Операторы. Искомые функции y_1 и y_2 представляются как функции независимой переменной t , – $y_1(t)$ и $y_2(t)$.

При записи ОДУ и начальных условий необходимо применять логический оператор «равно» $=$.

В раздел Решатель вводится встроенная функция `odesolve(Y(t), t_k)`, которая реализует решение задачи Коши одним из численных методов. Через функцию `odesolve` система Mathcad осуществляет выбор целесообразного численного метода решения из следующего перечня методов: Адамса – Башфорта, BDF (формула обратного дифференцирования) – для жестких систем ОДУ, Рунге – Кутта четвертого порядка с фиксированным или адаптивно выбираемым шагом в зависимости от характера изменения функций, Radau – для жестких или имеющих алгебраические ограничения систем ОДУ.

Аргументы функции `odesolve`: $Y(t)$ – вектор-столбец, содержащий искомые функции $y_1(t)$ и $y_2(t)$; t_k – правая граница интервала интегрирования $[t_0; t_k]$, на котором требуется найти решение системы ОДУ.

Пример выполнения задания 1.а

Решение задачи Коши для заданной системы ОДУ с помощью Блока решения и встроенной функции `odesolve`():

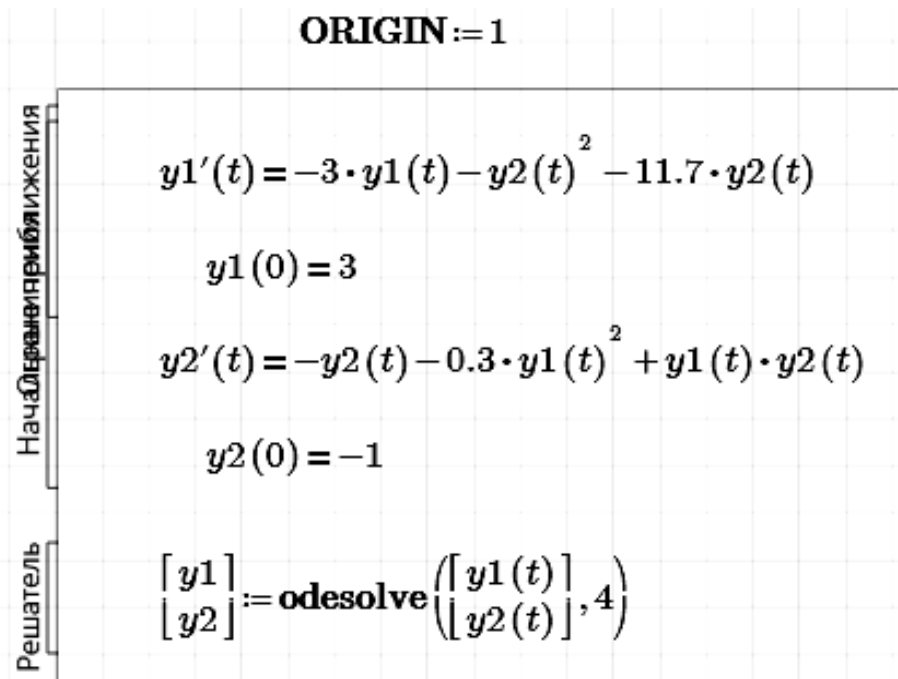
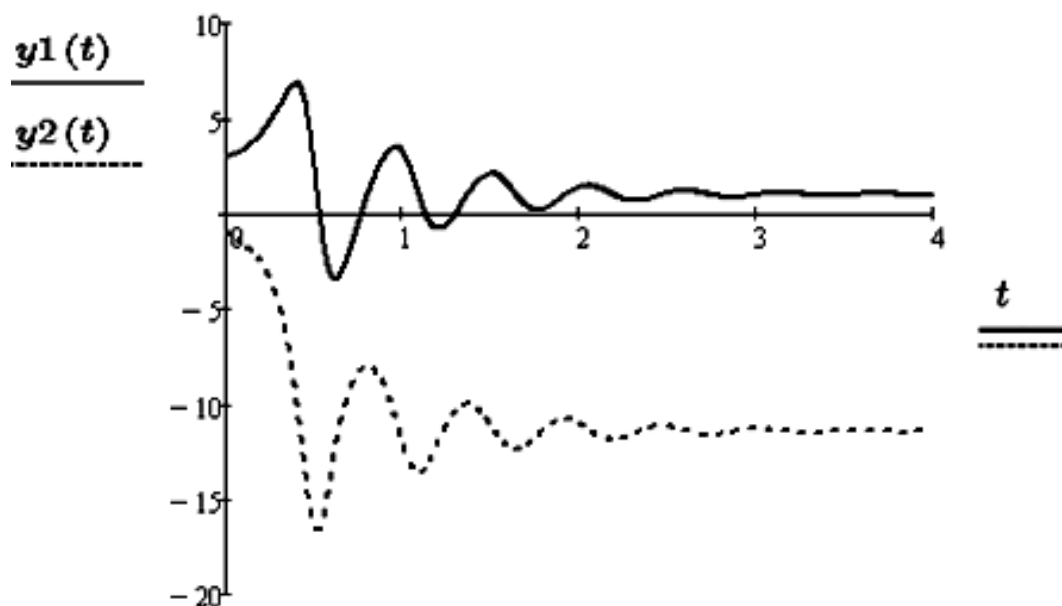


График решения системы ОДУ:



8.3. Информация к выполнению задания 1.6

Встроенная функция `Rkadapt` (y, t_0, t_k, m, D) реализует решение задачи Коши на отрезке $[t_0; t_k]$ методом Рунге – Кутты с шагом интегрирования, адаптивно выбираемым в зависимости от характера изменения функций $y_1(t)$ и $y_2(t)$. Параметры функции `Rkadapt`: y – вектор начальных условий; m – число шагов интегрирования; D – вектор-функция, содержащая правые части $F(t, Y)$ уравнений системы ОДУ, приведенной к форме Коши (нормальной форме).

Результат функции `Rkadapt` выдаётся в виде матрицы $Yrkad$, состоящей из $(m+1)$ строк и $(n+1)$ столбцов: первый столбец $Yrkad^{(1)}$ содержит значения аргумента t , второй $Yrkad^{(2)}$ – значения искомой функции $y_1(t)$, третий $Yrkad^{(3)}$ – значения искомой функции $y_2(t)$, $(n+1)$ -й столбец $Yrkad^{(n+1)}$ – значения искомой функции $y_n(t)$.

Пример выполнения задания 1.6

```
clear(t)
```

$$y := \begin{bmatrix} 3 \\ -1 \end{bmatrix}$$

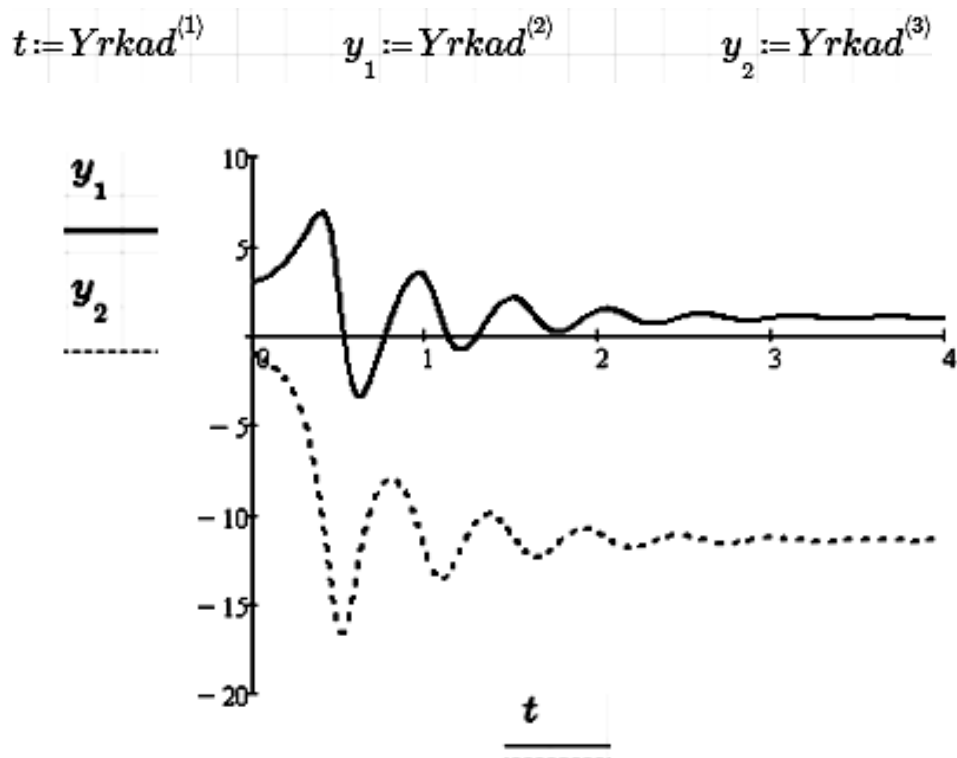
$$D(t, y) := \begin{bmatrix} -3 \cdot y_1 - y_2^2 - 11.7 \cdot y_2 \\ -y_2 - 0.3 \cdot y_1^2 + y_1 \cdot y_2 \end{bmatrix}$$

$$Yrkad := Rkadapt(y, 0, 4, 600, D)$$

Матрица решения:

$$Yrkad = \begin{array}{l} 1 \left[\begin{array}{ccc} 0 & 3 & -1 \end{array} \right] \\ 2 \left[\begin{array}{ccc} 0.007 & 3.012 & -1.032 \end{array} \right] \\ 3 \left[\begin{array}{ccc} 0.013 & 3.026 & -1.064 \end{array} \right] \\ 4 \left[\begin{array}{ccc} 0.02 & 3.042 & -1.097 \end{array} \right] \\ 5 \left[\begin{array}{ccc} 0.027 & 3.06 & -1.131 \end{array} \right] \\ 6 \left[\begin{array}{ccc} 0.033 & 3.079 & -1.166 \end{array} \right] \\ 7 \left[\begin{array}{ccc} 0.04 & 3.1 & -1.201 \end{array} \right] \\ 8 \left[\begin{array}{ccc} 0.047 & 3.123 & -1.238 \end{array} \right] \\ 9 \left[\begin{array}{ccc} 0.053 & 3.148 & -1.275 \end{array} \right] \\ \vdots \\ 601 \left[\begin{array}{ccc} & & \vdots \end{array} \right] \end{array}$$

График решения системы ОДУ:



8.4. Информация к выполнению задания 1.в

Для динамического объекта, моделируемого системой двух ОДУ ($n=2$), можно построить фазовую траекторию $y_2(t) = f(y_1(t))$ на фазовой плоскости. Значения искомых функций $y_1(t)$ и $y_2(t)$ в момент времени t_i представляют собой координаты изображающей точки, характеризующей состояние исследуемого динамического объекта в данный момент времени. Совокупность таких точек для последовательных моментов времени $t_1, t_2, t_3, \dots, t_m$ образует фазовую траекторию. Для $n > 2$ фазовые траектории располагаются в фазовом пространстве.

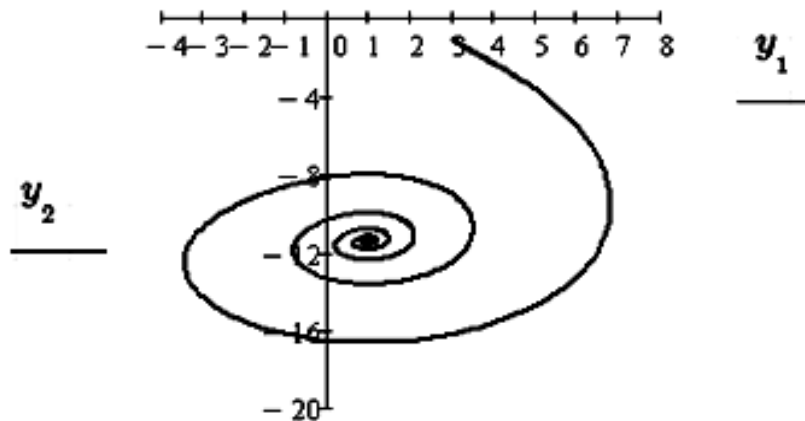
Интегральные кривые для системы двух ОДУ получают в трехмерном пространстве переменных y_1, y_2, t .

Для построения интегральной кривой следует вставить шаблон 3D-графика с вкладки График \Rightarrow меню Вставить график. В местозаполнитель ввести имя матрицы, содержащей три столбца. При этом данные первого столбца матрицы интерпретируются как координаты отображаемых точек по оси x , данные второго столбца – координаты по оси y , данные третьего столбца – координаты по оси z .

Для того чтобы по оси x отображались значения функции y_1 , по оси y – значения функции y_2 , по оси z – значения времени t , необходимо сделать соответствующую перестановку столбцов в матрице Y_{rkad} . Для этого следует применить встроенную функцию `augment()`. Матрицу, полученную в результате перестановки столбцов, обозначим как $Y_{integrKr}$.

Пример выполнения задания 1.6

Фазовая траектория исследуемой динамической системы:

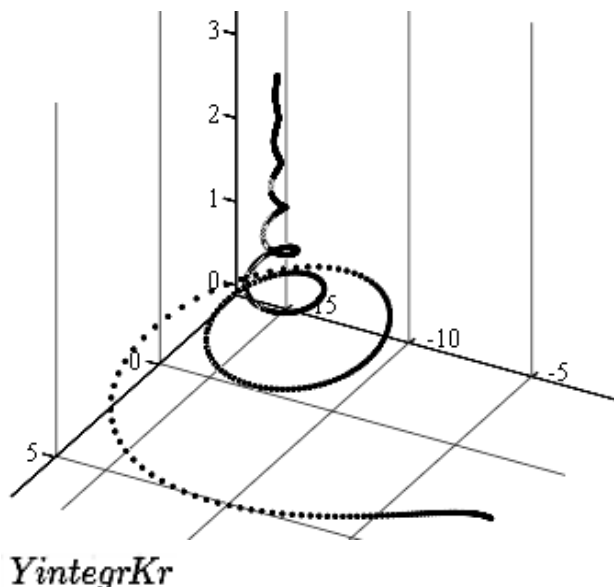


Формирование матрицы $Y_{integrKr}$ путем перестановки столбцов в исходной матрице решений Y_{rkad} :

$$Y_{integrKr} := \text{augment}(y_1, y_2, t)$$

$$Y_{integrKr} = \begin{matrix} 1 & \begin{bmatrix} 3 & -1 & 0 \end{bmatrix} \\ 2 & \begin{bmatrix} 3.012 & -1.032 & 0.007 \end{bmatrix} \\ 3 & \begin{bmatrix} 3.026 & -1.064 & 0.013 \end{bmatrix} \\ 4 & \begin{bmatrix} 3.042 & -1.097 & 0.02 \end{bmatrix} \\ 5 & \begin{bmatrix} 3.06 & -1.131 & 0.027 \end{bmatrix} \\ 6 & \begin{bmatrix} 3.079 & -1.166 & 0.033 \end{bmatrix} \\ 7 & \begin{bmatrix} 3.1 & -1.201 & 0.04 \end{bmatrix} \\ 8 & \begin{bmatrix} 3.123 & -1.238 & 0.047 \end{bmatrix} \\ 9 & \begin{bmatrix} 3.148 & -1.275 & 0.053 \end{bmatrix} \\ \vdots & \begin{bmatrix} \vdots & \vdots & \vdots \end{bmatrix} \\ 601 & \begin{bmatrix} \vdots & \vdots & \vdots \end{bmatrix} \end{matrix}$$

Интегральная кривая для заданной системы двух ОДУ:



8.5. Численное решение модели в форме ОДУ третьего порядка

Дана математическая модель в форме ОДУ третьего порядка:

$$y'''(t) + 0.93 y''(t) + 25.3 y'(t) + 43 y^2(t) = 0$$

Требуется найти численное решение данного ОДУ на отрезке $[0; 10]$ при начальных условиях $y(t_0) = 0$; $y'(t_0) = 0,4$; $y''(t_0) = 1,5$, т. е. решить задачу Коши.

Для численного решения ОДУ n -го порядка с помощью встроенных функций `Rkadapt` и `rkfixed` следует предварительно свести его к нормальной системе n ОДУ первого порядка (в форме Коши).

Информация к выполнению заданий 2.а,б

Системной переменной `ORIGIN` присваивается значение 0.

Встроенная функция `Rkadapt` (y_0, t_0, t_k, m, D) реализует решение задачи Коши на отрезке $[t_0; t_k]$ методом Рунге – Кутты с шагом интегрирования, адаптивно выбираемым в зависимости от характера изменения функции $y(t)$. D – вектор-функция, содержащая правые части уравнений системы ОДУ в форме Коши (в нормальной форме), к которой предварительно сведено заданное ОДУ n -го порядка.

Результат функции `Rkadapt` выдаётся в виде матрицы $Yrkad$, состоящей из $(m + 1)$ строк и $(n + 1)$ столбцов: нулевой столбец $Yrkad^{(0)}$ содержит значения аргумента t , первый $Yrkad^{(1)}$ – значения искомой функции $y(t)$, второй $Yrkad^{(2)}$ – значения первой производной искомой функции $y'(t)$, третий $Yrkad^{(3)}$ – значения второй производной искомой функции $y''(t)$, n -й столбец – значения $(n - 1)$ -й производной искомой функции $y^{(n-1)}(t)$.

Для построения фазовой траектории динамической системы, описываемой моделью в форме ОДУ n-го порядка, по осям координат откладывают искомую функцию (решение) $y(t)$ и скорость ее изменения $y'(t)$.

Пример выполнения задания 2.a

clear(t) clear(y)

ORIGIN:=0

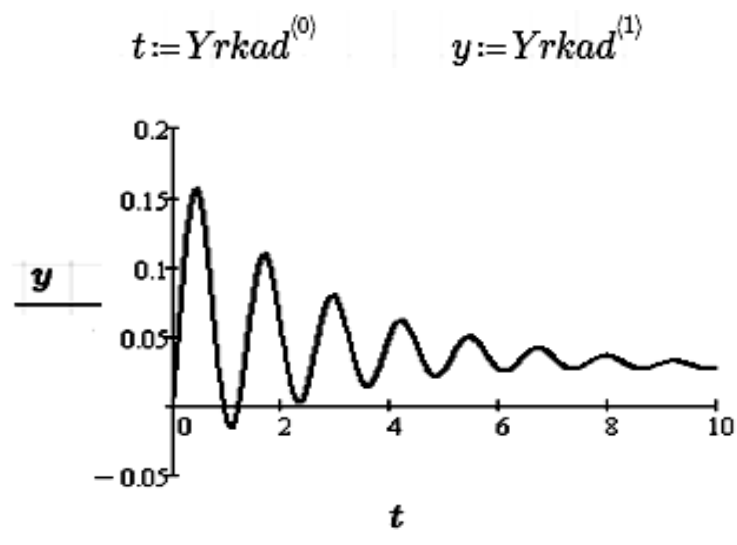
$$y := \begin{bmatrix} 0 \\ 0.4 \\ 1.5 \end{bmatrix} \quad D(t, y) := \begin{bmatrix} y_1 \\ y_2 \\ -0.93 \cdot y_2 - 25.3 \cdot y_1 - 43 \cdot y_0^2 \end{bmatrix}$$

Yrkad:=Rkadapt(y,0,10,500,D)

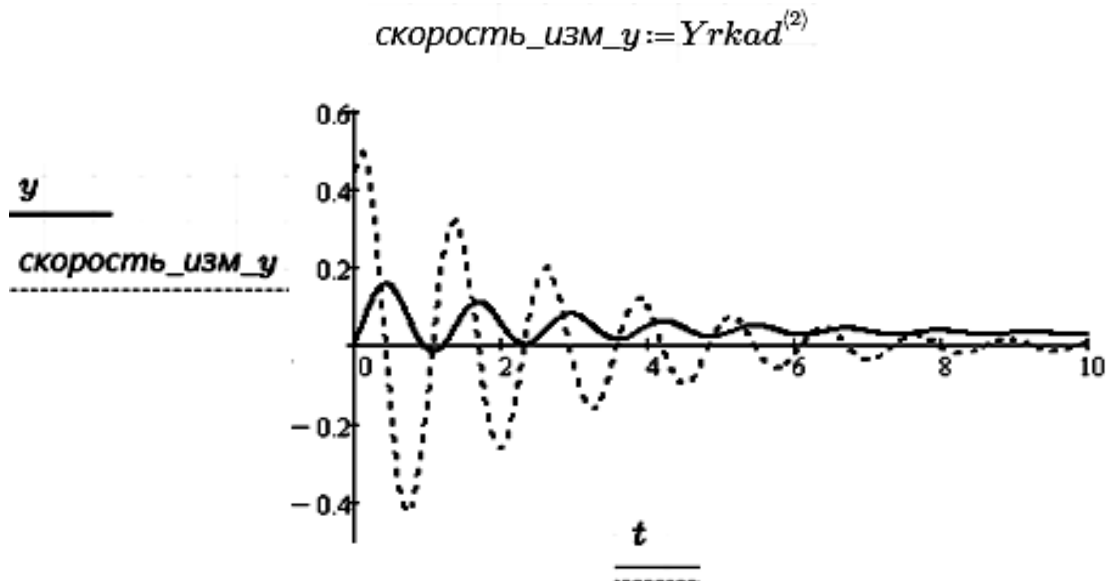
Матрица решения:

$$Yrkad = \begin{matrix} & \begin{matrix} 0 & 0 & 0 & 0.4 & 1.5 \end{matrix} \\ \begin{matrix} 1 \\ 2 \\ 3 \\ 4 \\ 5 \\ 6 \\ 7 \\ 8 \\ \vdots \\ 500 \end{matrix} & \begin{bmatrix} 0.02 & 8.28 \cdot 10^{-3} & 0.43 & 1.26 \\ 0.04 & 0.02 & 0.45 & 1.02 \\ 0.06 & 0.03 & 0.47 & 0.77 \\ 0.08 & 0.04 & 0.48 & 0.52 \\ 0.1 & 0.05 & 0.49 & 0.26 \\ 0.12 & 0.06 & 0.49 & 0.01 \\ 0.14 & 0.07 & 0.49 & -0.24 \\ 0.16 & 0.07 & 0.48 & -0.48 \\ \vdots & & & \vdots \\ 500 & & & \end{bmatrix} \end{matrix}$$

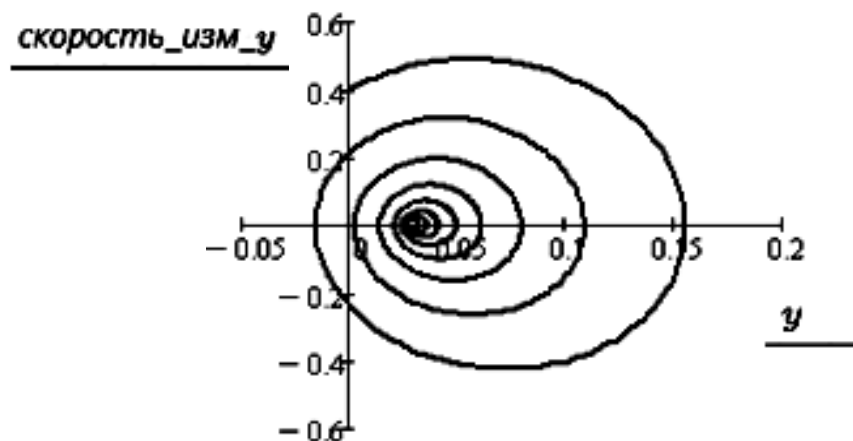
График решения $y(t)$:



Добавление к графику решения $y(t)$ графика производной решения $y'(t)$:



Фазовая траектория исследуемой динамической системы:



8.6. Задания

1) Реализовать численное решение математической модели в форме системы ОДУ средствами Mathcad (табл. 8.1):

а) решить задачу Коши с помощью Блока решения и встроенной функции `odesolve`;

б) решить задачу Коши с помощью встроенной функции `Rkadapt`;

в) построить фазовую траекторию исследуемой физической системы и интегральную кривую. Интерпретировать полученные результаты.

2) Реализовать численное решение математической модели в форме ОДУ третьего порядка (табл. 8.2) средствами Mathcad:

- а) решить задачу Коши с помощью встроенной функции Rkadapt;
 б) построить фазовую траекторию исследуемой динамической системы. Интерпретировать полученные результаты.

Т а б л и ц а 8.1

Математические модели в форме системы ОДУ

Вариант	Система ОДУ	Начальные условия	Интервал
1	2	3	4
1	$\begin{cases} y_1' = 2y_1 - 3y_1 y_2 \\ y_2' = 0,75y_1 - y_1 y_2 + 1,7 \sin 2,5t \end{cases}$	$\begin{bmatrix} 2 \\ 0 \end{bmatrix}$	[0;10]
2	$\begin{cases} y_1' = -y_1^2 y_2 \\ y_2' = 11,5y_1 - 5,43y_2 \end{cases}$	$\begin{bmatrix} 4 \\ -4 \end{bmatrix}$	[0;1]
3	$\begin{cases} y_1' = 0,6y_1 - y_2^2 \\ y_2' = -y_1^2 - 3y_2 \end{cases}$	$\begin{bmatrix} 4 \\ 2 \end{bmatrix}$	[0;8]
4	$\begin{cases} y_1' = -7,3y_2 + 29 \cos 3t \\ y_2' = 1,5y_1 - y_2 \end{cases}$	$\begin{bmatrix} 0 \\ 0 \end{bmatrix}$	[0;15]
5	$\begin{cases} y_1' = -y_1^2 y_2 + 0,7y_1 \\ y_2' = 4y_1^2 - 11y_2 \end{cases}$	$\begin{bmatrix} 3 \\ 1 \end{bmatrix}$	[0;2]
6	$\begin{cases} y_1' = y_1 y_2 - 2,4y_2^2 - 15y_2 \\ y_2' = 0,7y_1^2 + 4y_1 y_2 \end{cases}$	$\begin{bmatrix} 7 \\ -7 \end{bmatrix}$	[0;1,5]
7	$\begin{cases} y_1' = -y_2^2 - y_1 y_2 \\ y_2' = 0,5y_1 - y_2 \end{cases}$	$\begin{bmatrix} 5 \\ -3 \end{bmatrix}$	[0;5]
8	$\begin{cases} y_1' = -0,15(y_1 y_2)^2 - 5,5y_2 \\ y_2' = -1,7y_2^2 - 1,77y_1 y_2 + 3,7y_1 \end{cases}$	$\begin{bmatrix} 3 \\ -3 \end{bmatrix}$	[0;7]
9	$\begin{cases} y_1' = 4,1y_1 y_2 + 0,01y_2^2 \\ y_2' = -1,43y_1 - y_1 y_2 \end{cases}$	$\begin{bmatrix} 0 \\ 1 \end{bmatrix}$	[0;6]
10	$\begin{cases} y_1' = -y_1^2 - y_1 y_2 \\ y_2' = 4,5y_1 - 0,43y_2 \end{cases}$	$\begin{bmatrix} 3 \\ -5 \end{bmatrix}$	[0;6]

Окончание табл. 8.1

1	2	3	4
11	$\begin{cases} y_1' = 19,2 y_1 - 4,3 y_1 y_2 \\ y_2' = 2,8 y_1^2 - 2,2 y_2 \end{cases}$	$\begin{bmatrix} 2 \\ 7 \end{bmatrix}$	[0;4]
12	$\begin{cases} y_1' = 2,2 y_2 - 0,3 y_1^3 \\ y_2' = -0,23 y_1 y_2 \end{cases}$	$\begin{bmatrix} 0 \\ 5 \end{bmatrix}$	[0;10]
13	$\begin{cases} y_1' = -0,38 y_1^3 - 5,7 y_1 y_2 \\ y_2' = 3,6 y_1 - 3,3 y_2 \end{cases}$	$\begin{bmatrix} -14 \\ -2 \end{bmatrix}$	[0;7]
14	$\begin{cases} y_1' = 3,8 y_2 - 0,8 y_1 y_2 \\ y_2' = 5,73 y_1 - 2,1 y_1 y_2 \end{cases}$	$\begin{bmatrix} 3 \\ -7 \end{bmatrix}$	[0;8]
15	$\begin{cases} y_1' = 3,7 y_1 + 0,85 (y_1 y_2)^2 \\ y_2' = -0,68 y_1^2 - 0,72 y_2 \end{cases}$	$\begin{bmatrix} -1 \\ 2 \end{bmatrix}$	[0;5]

Таблица 8.2

Математические модели в форме ОДУ третьего порядка

Вариант	ОДУ	Начальные условия	Интервал
1	2	3	4
1	$y'''(t) - 0,5y'(t) + 1,3y(t) - 4,7 = 0$	$y(0)=3$ $y'(0)=-0,2$ $y''(0)=-0,1$	[0;10]
2	$y'''(t) - 0,36y''(t) + 0,34y(t) - 0,82t = 0$	$y(0)=-0,3$ $y'(0)=0$ $y''(0)=-1$	[0;12]
3	$y'''(t) - 0,12y''(t) - 0,78y(t) + 0,3 = 0$	$y(0)=2$ $y'(0)=0,8$ $y''(0)=-1,9$	[0;5]
4	$y'''(t) - 0,1y'(t) + 1,9y(t) - 0,9t = 0$	$y(0)=0,5$ $y'(0)=-7,7$ $y''(0)=-2$	[0;6]
5	$y'''(t) - 3,4y''(t) + 21y'(t) - 0,7t + 0,13 = 0$	$y(0)=2$ $y'(0)=-0,12$ $y''(0)=0$	[0;5]

1	2	3	4
6	$y'''(t) + 5,8y''(t) - 5y'(t) + 8y(t) = 0$	$y(0)=0,5$ $y'(0)=-1$ $y''(0)=1,3$	[0;13]
7	$y'''(t) + 4,9y''(t) - 1,7y'(t) + 2y(t) + 2,4t = 0$	$y(0)=0$ $y'(0)=-1,2$ $y''(0)=1$	[0;30]
8	$y'''(t) + 12y'(t) + 1,8y(t) - 0,6t = 0$	$y(0)=-10$ $y'(0)=-0,3$ $y''(0)=0,7$	[0;30]
9	$y'''(t) + 17y'(t) + 3,9y(t) + 2 = 0$	$y(0)=5$ $y'(0)=-0,8$ $y''(0)=1,4$	[0;20]
10	$y'''(t) + 80y'(t) + 0,22y(t) - 2 = 0$	$y(0)=0$ $y'(0)=-3$ $y''(0)=1,3$	[0;8]
11	$y'''(t) - 0,42y''(t) + 10,4y'(t) - 0,4y(t) + 0,03t = 0$	$y(0)=-8$ $y'(0)=0,3$ $y''(0)=9,1$	[0;25]
12	$y'''(t) + 8y''(t) - 0,26y(t) + \frac{7,69}{t+190} = 0$	$y(0)=10,58$ $y'(0)=0,29$ $y''(0)=-18,51$	[0;30]
13	$y'''(t) + 0,1\sqrt{t}y''(t) + 0,03y'(t) + 27\cos t = 0$	$y(0)=80$ $y'(0)=-0,01$ $y''(0)=0,53$	[0;36]
14	$y'''(t) + 83y'(t) + 14,45y(t) + 270\sin t = 0$	$y(0)=25$ $y'(0)=-0,2$ $y''(0)=60,3$	[0;30]
15	$y'''(t) + 19y''(t) + 3,93y'(t) + y(t) = 0$	$y(0)=3$ $y'(0)=6,4$ $y''(0)=3,6$	[0;40]

РЕАЛИЗАЦИЯ ТИПОВЫХ МОДЕЛЕЙ СЛУЧАЙНЫХ ПОСЛЕДОВАТЕЛЬНОСТЕЙ ПРИ ФОРМИРОВАНИИ СТОХАСТИЧЕСКИХ МОДЕЛЕЙ ФИЗИЧЕСКИХ СИСТЕМ

9.1. Постановка задачи

Физическая система, функционирующая в условиях влияния внутренних и внешних случайных факторов (шумов), наиболее адекватно (достоверно) может быть описана стохастической математической моделью.

В отличие от детерминированной модели стохастическая модель учитывает случайный характер процессов в моделируемой системе. Во многих задачах это реализуется посредством включения в математическую модель случайного мешающего процесса (шума) $\omega(t)$, воздействующего на исследуемую систему аддитивно или мультипликативно.

В дискретных стохастических моделях понятие «случайный процесс» заменяется понятием «случайная последовательность».

В связи с этим на этапе исследования и апробации сформированной стохастической модели большое значение приобретают алгоритмы и инструменты реализации типовых моделей случайных процессов (случайных последовательностей). Для этой цели в любой среде программирования созданы генераторы случайных чисел.

Часто в процессе моделирования приходится решать следующую задачу: определять характер распределения некоторой случайной величины x по результатам ее многократных измерений (наблюдений) $x_1, x_2, x_3, \dots, x_n$. Решение основано на построении гистограммы – ступенчатого графика, аппроксимирующего по результатам измерения случайной величины плотность ее распределения. Диапазон значений случайной величины $[x_{\min}; x_{\max}]$ разбивают на некоторое количество интервалов, а затем подсчитывают частоту (процент) попадания данных в каждый интервал. Таким образом, гистограмма отображает частоту попадания значений случайной величины в каждый из интервалов.

9.2. Информация к выполнению задания 1

Встроенная функция $\text{rnorm}(nn, m_y, \sigma_y)$ (категория *Случайные числа*) генерирует последовательность случайных чисел, распределенных по нор-

мальному закону с математическим ожиданием m_y и среднеквадратическим отклонением σ_y . Результатом функции `gnorm()` является вектор y из nn случайных чисел y_i (i – счетчик чисел случайной последовательности y).

Для вывода графика, иллюстрирующего распределение случайных чисел, необходимо воспользоваться инструментом «График XY». При форматировании графика следует установить параметры: символ – «°», стиль линии – «нет», минимальную толщину кривой.

Для построения гистограммы вводятся переменные:

m – количество интервалов, на которые разбивается диапазон изменения случайной величины $[y_min; y_max]$;

y_min – минимальное значение случайной величины y , определяемое с помощью встроенной функции `min(y)`;

y_max – максимальное значение случайной величины y , определяемое с помощью встроенной функции `max(y)`;

$велич_интервала$ – величина интервала (все интервалы имеют одинаковую величину).

Встроенная функция `histogram(m, y)` (категория – *Статистические функции*) определяет матрицу *Gist*, первый столбец которой содержит середины интервалов, второй столбец – абсолютные частоты попадания значений случайной величины y в соответствующий интервал.

Для построения гистограммы используется инструмент «График XY». При форматировании графика следует установить тип кривой «столбцы», минимальную толщину кривой.

Встроенная функция `sort(y)` упорядочивает элементы вектора y по возрастанию.

Встроенная функция `dnorm(y, m_y , σ_y)` (категория *Плотность вероятности*) определяет плотность распределения вероятностей случайной величины y , распределенной по нормальному закону.

Пример выполнения задания 1.

а) Генерирование случайной последовательности y из 1000 чисел ($nn = 1000$), подчиняющихся нормальному (гауссовскому) закону распределения, с параметрами $m_y = 0$ и $\sigma_y = 1$.

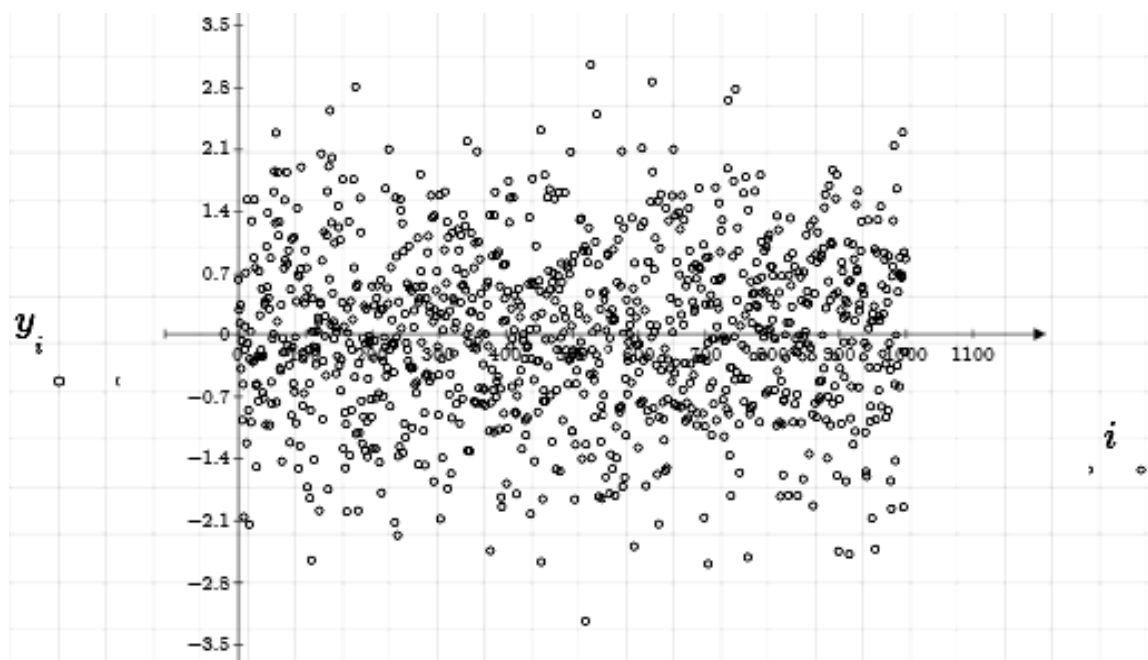
```
ORIGIN:=0 | | nn:=1000
| |
| | y:=gnorm(nn,0,1) | |
```

Вывод вектора случайных чисел y :

$$y = \begin{bmatrix} 0 & 1.32 \\ 1 & -0.075 \\ 2 & -1.466 \\ 3 & 0.669 \\ 4 & -0.589 \\ 5 & 0.046 \\ 6 & 0.155 \\ 7 & 0.762 \\ 8 & -0.976 \\ 9 & -1.527 \\ \vdots & \vdots \\ 999 & \end{bmatrix}$$

Построение графика (диаграммы рассеяния), иллюстрирующего распределение случайных чисел y :

$i := 0 \dots 999$



б) Построение гистограммы.

Определение величины интервала:

$m := 20$

$y_{min} := \min(y) = -2.8$ $y_{max} := \max(y) = 2.95$

$$\text{велич_интервала} := \frac{y_{\max} - y_{\min}}{m} = 0.29$$

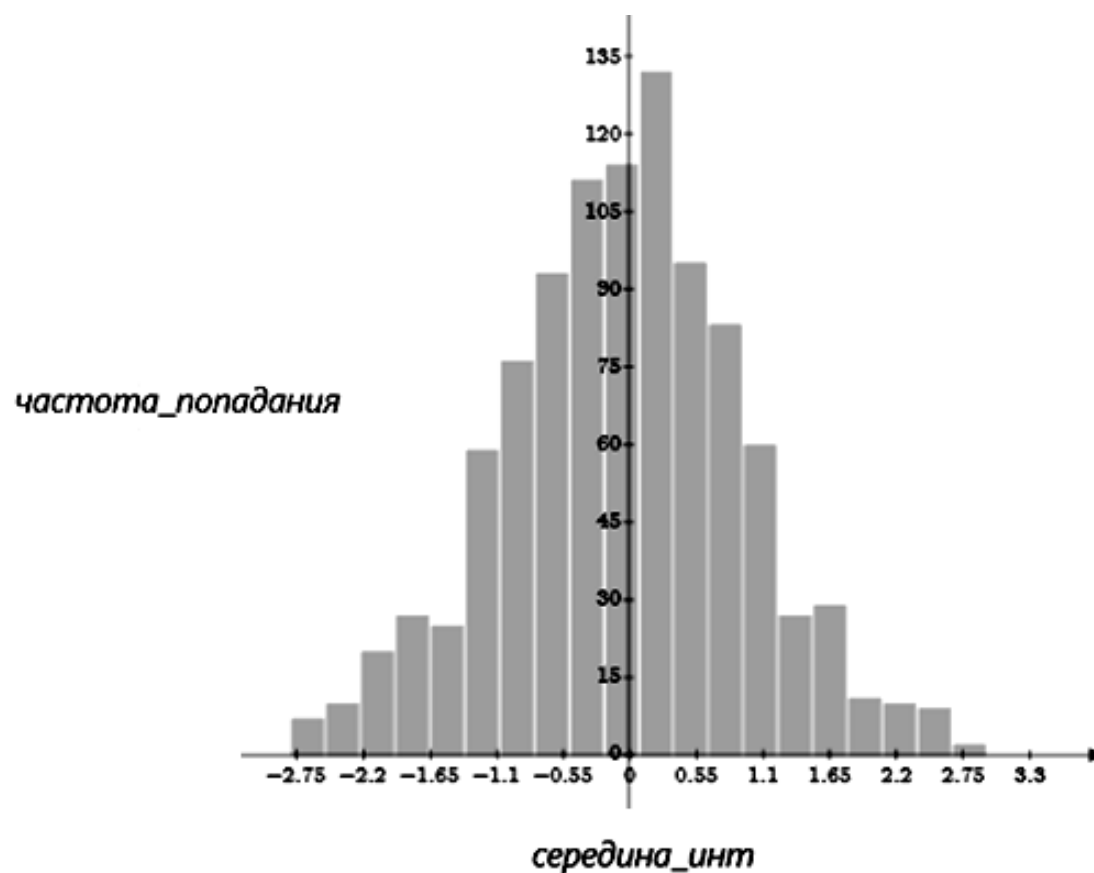
Построение гистограммы для абсолютных частот:

$Gist := \text{histogram}(m, y)$

0	[-2.658	7]
1	[-2.371	10]
2	[-2.084	20]
3	[-1.796	27]
4	[-1.509	25]
5	[-1.221	59]
6	[-0.934	76]
7	[-0.646	93]
8	[-0.359	111]
9	[-0.071	114]
⋮	[⋮]
19				

$\text{середина_инт} := Gist^{(0)}$

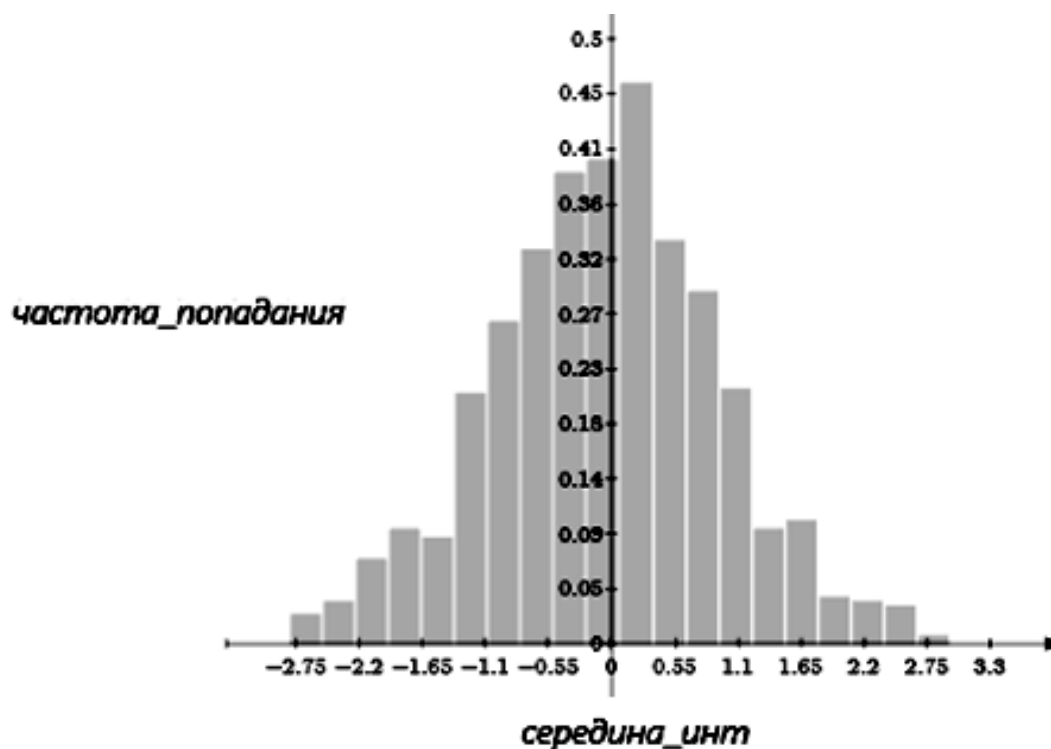
$\text{частота_попадания} := Gist^{(1)}$



Переход от абсолютных частот к относительным:

$$\text{частота_попадания} := \frac{\text{частота_попадания}}{n \cdot (\text{велич_интервала})}$$

Построение гистограммы для относительных частот:



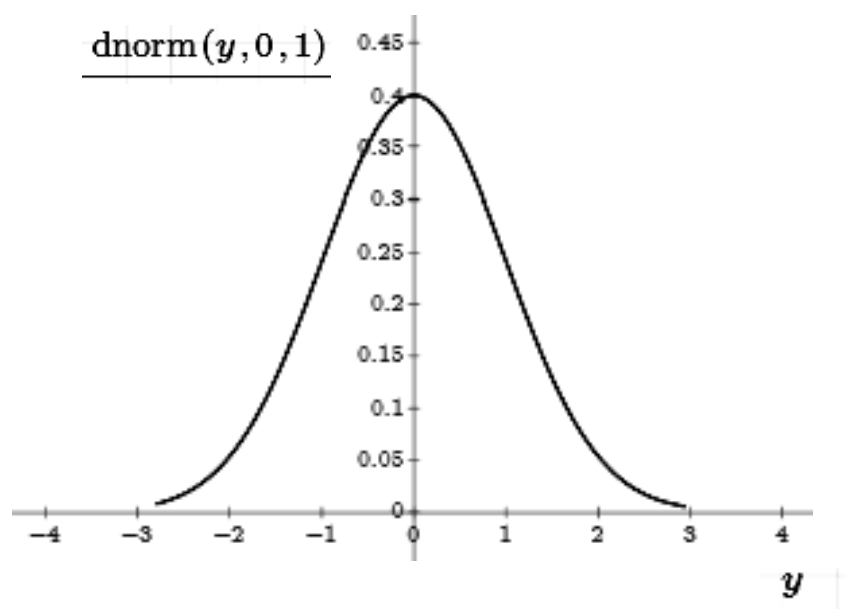
в) Построение графика функции плотности распределения вероятности случайной последовательности y_i :

Сортировка элементов вектора y в порядке возрастания:

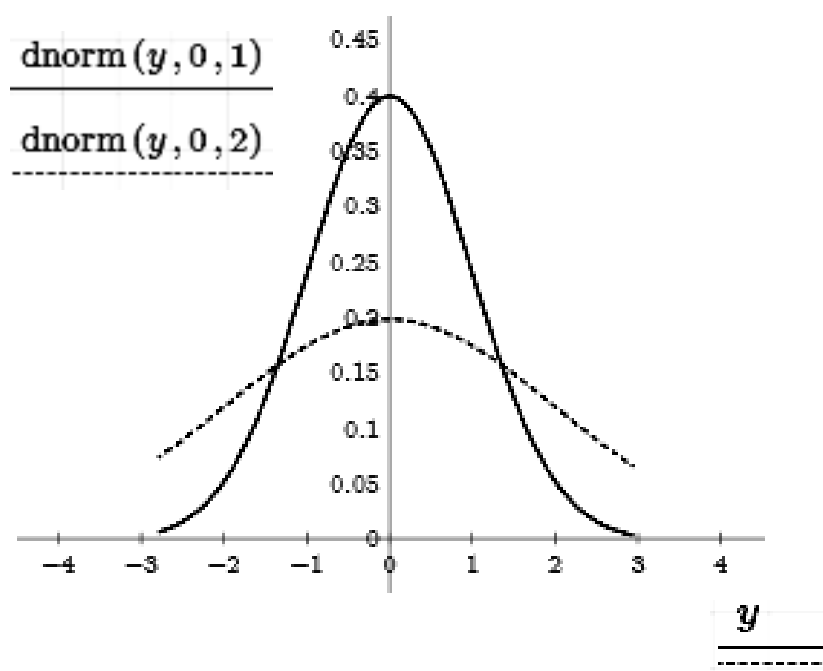
```

y := sort(y)
0 [-2.802]
1 [-2.768]
2 [-2.695]
3 [-2.691]
4 [-2.6]
5 [-2.595]
6 [-2.593]
7 [-2.499]
8 [-2.465]
9 [-2.433]
⋮
999

```



Сравнение графиков функции плотности распределения вероятности для разных значений среднеквадратического отклонения σ_y :



9.3. Информация к выполнению задания 2

Встроенная функция `runif(nn,a,b)` (категория *Случайные числа*) генерирует последовательность из nn случайных чисел, распределенных по равномерному закону на интервале $[a; b]$. Результатом функции является вектор x случайных чисел x_i . Порядковый номер случайного числа задается счетчиком i . Количество случайных чисел x_i задается переменной nn .

Переменная m – количество интервалов, на которые разбиваем диапазон $[a; b]$ изменения случайной величины x .

Переменная *велич_интервала* – величина интервала.

Переменная-диапазон *граница_инт* задает значения границ интервалов.

Встроенная функция `dunif(x,a,b)` (категория *Плотность вероятности*) определяет плотность распределения вероятностей случайной величины x , распределенной по равномерному закону в диапазоне $[a; b]$.

Пример выполнения задания 2.

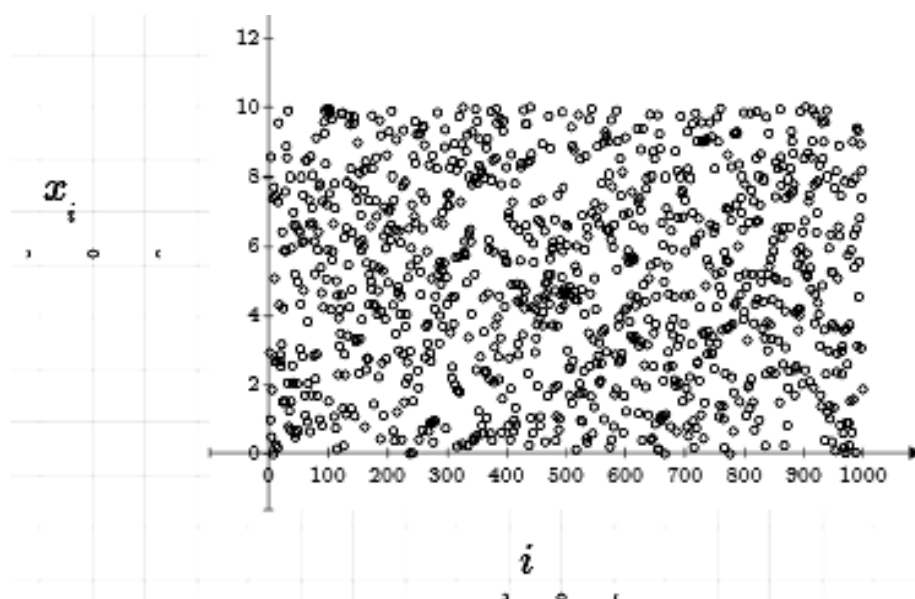
а) Генерирование случайной последовательности x из 1000 чисел, подчиняющихся равномерному закону распределения в диапазоне $[a; b]$:

```
nn:=1000      i:=1..1000
a:=0          b:=10
x:=runif(nn,a,b)
```

Вывод вектора случайных чисел x :

```
x =
0 [ 1.286 ]
1 [ 2.448 ]
2 [ 5.046 ]
3 [ 4.786 ]
4 [ 3.253 ]
5 [ 9.431 ]
6 [ 9.04  ]
7 [ 9.945 ]
8 [ 2.727 ]
⋮ [ ⋮     ]
999 [      ]
```

График, иллюстрирующий распределение случайных чисел x :



б) Построение гистограммы.

$$m := 14$$

$$\text{велич_интервала} := \frac{b-a}{m} = 0.714$$

$$Gist := \text{histogram}(m, x)$$

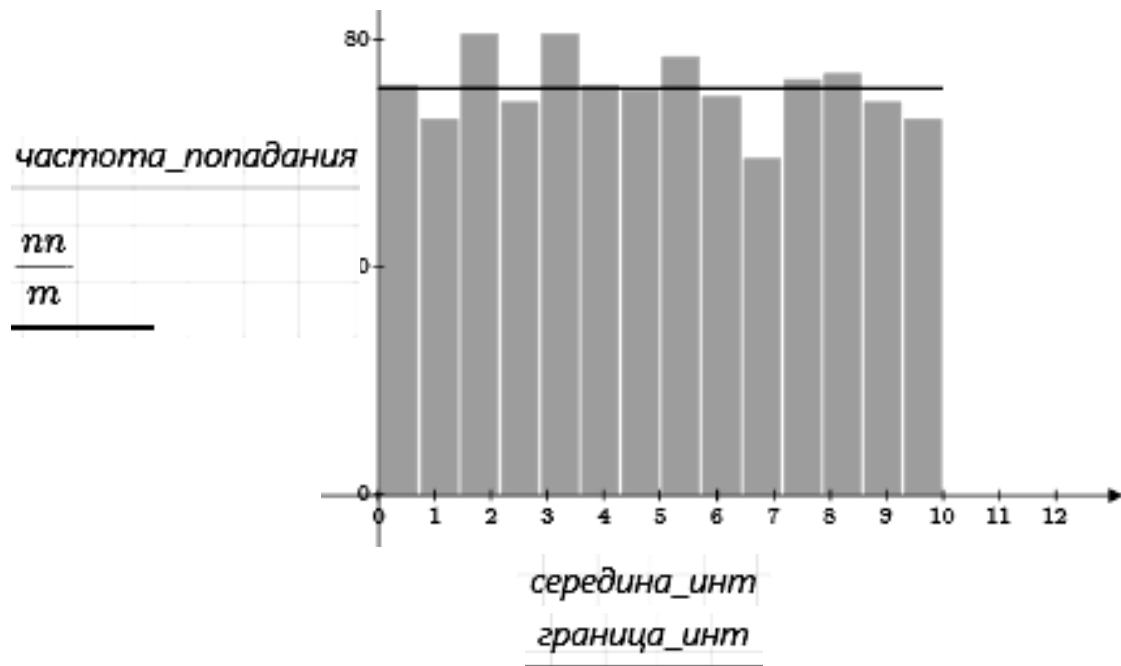
$$Gist = \begin{matrix} 0 & [0.373 & 72] \\ 1 & [1.086 & 66] \\ 2 & [1.799 & 81] \\ 3 & [2.512 & 69] \\ 4 & [3.225 & 81] \\ 5 & [3.938 & 72] \\ 6 & [4.651 & 71] \\ 7 & [5.364 & 77] \\ 8 & [6.077 & 70] \\ \vdots & & \vdots \\ 13 & & \end{matrix}$$

$$\text{середина_инт} := Gist^{(0)}$$

$$\text{частота_попадания} := Gist^{(1)}$$

$$\text{граница_инт} := a, 0 + \text{велич_интервала} .. b$$

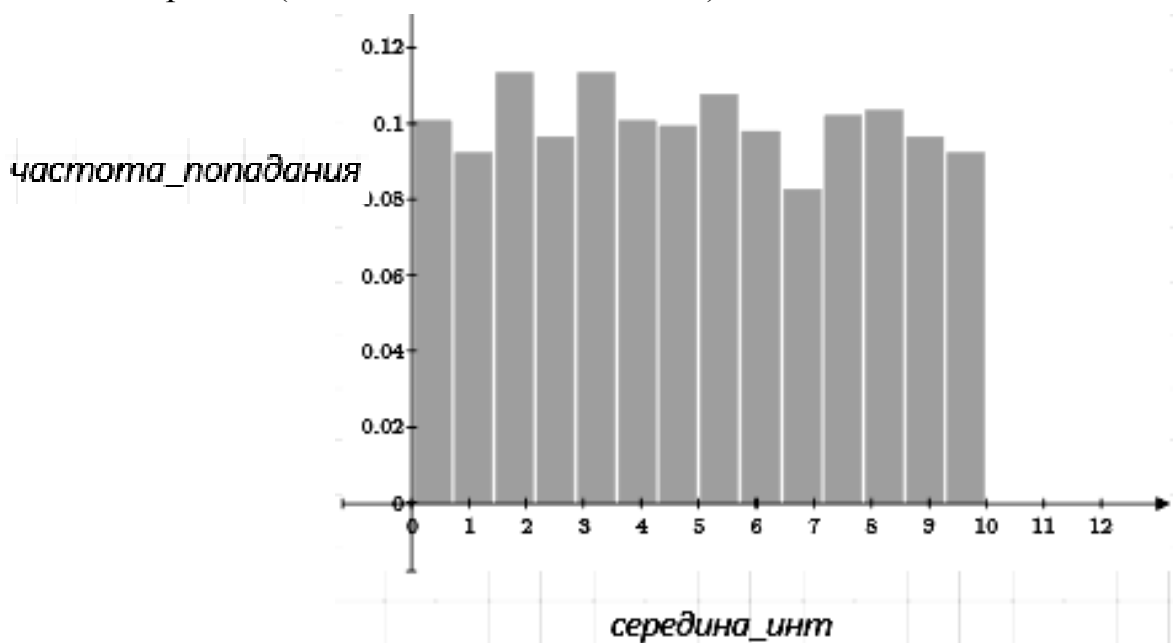
Гистограмма (для абсолютных частот):



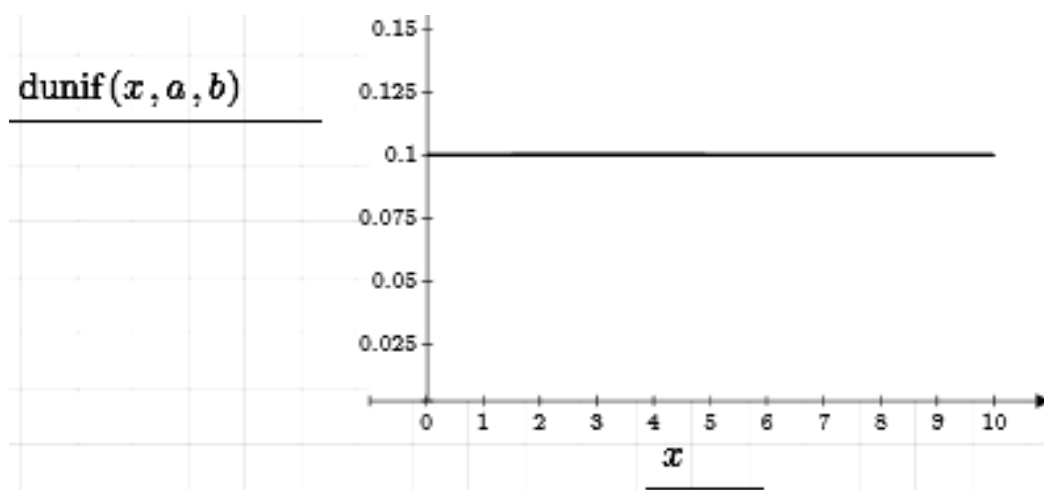
Переход от абсолютных частот к относительным:

$$\text{частота_попадания} := \frac{\text{частота_попадания}}{nn \cdot (\text{велич_интервала})}$$

Гистограмма (для относительных частот):



в) Построение графика функции плотности распределения вероятности последовательности случайных чисел x_i .



9.4. Задания

1) Исследовать особенности реализации типовой модели нормального (гауссовского) случайного процесса:

а) сгенерировать случайную последовательность из nn чисел, подчиняющихся нормальному (гауссовскому) закону распределения, с параметрами: математическое ожидание m_y ; среднеквадратическое отклонение σ_y ;

б) построить гистограмму (столбчатую диаграмму);

в) построить график функции плотности распределения вероятности для сгенерированной случайной последовательности.

2) Исследовать особенности реализации типовой модели равномерно распределенного случайного процесса:

а) сгенерировать случайную последовательность из 1000 чисел, подчиняющихся равномерному закону распределения, на интервале $[a; b]$;

б) построить гистограмму (столбчатую диаграмму);

в) построить график функции плотности распределения вероятности для сгенерированной случайной последовательности.

Т а б л и ц а 9.1

Исходные данные для типовых моделей случайных процессов

Вариант	К заданию 1			К заданию 2
	nn	m_y	σ_y	диапазон $[a; b]$ изменения случайной величины x
1	2	3	4	5
1	1200	1	0,5	$[0; 5]$
2	1500	-1	0,8	$[0; 12]$

1	2	3	4	5
3	2000	2	0,7	[0; 3]
4	1300	−2	1,2	[0; 8]
5	1400	3	1,5	[0; 15]
6	2500	−3	1,7	[0; 5]
7	2200	4	1,8	[0; 8]
8	1800	−4	2	[0; 15]
9	1500	5	0,4	[0; 20]
10	1200	−5	1,5	[0; 2]
11	1300	0,5	1	[0; 4]
12	1400	1,5	1	[0; 5]
13	1600	2	1,5	[0; 6]
14	1700	−2	2	[0; 9]
15	1800	−1	0,6	[0; 10]
16	1900	1	0,7	[0; 8]

Библиографический список

1. Голубева Н. В. Математическое моделирование систем и процессов: Учебное пособие / Н. В. Голубева. СПб: Лань, 2013. 192 с.

2. Амосов А. А. Вычислительные методы: Учебное пособие / А. А. Амосов, Ю. А. Дубинский, Н. В. Копченова. СПб: Лань, 2014. 672 с.

3. Вержбицкий В. М. Численные методы (математический анализ и обыкновенные дифференциальные уравнения): Учебное пособие / В. М. Вержбицкий. М.: Директ-Медиа, 2013. 400 с.

4. Голубева Н. В. Основы математического моделирования систем и процессов: Учебное пособие / Н. В. Голубева / Омский гос. ун-т путей сообщения. Омск, 2006. 96 с.

5. Письменный Д. Т. Конспект лекций по теории вероятностей, математической статистике и случайным процессам / Д. Т. Письменный. М.: Айрис-пресс, 2008. 288 с.

Учебное издание

ГОЛУБЕВА Нина Викторовна

МАТЕМАТИЧЕСКОЕ МОДЕЛИРОВАНИЕ
СИСТЕМ И ПРОЦЕССОВ

Часть 3

Учебно-методическое пособие

Редактор Н. А. Майорова

* * *

Подписано в печать 18.12.2017. Формат 60×84 $\frac{1}{16}$.
Офсетная печать. Бумага офсетная. Усл. печ. л. 2,3. Уч.- изд. л. 2,5.
Тираж 350 экз. Заказ .

* *

Редакционно-издательский отдел ОмГУПС
Типография ОмГУПС

*

644046, г. Омск, пр. Маркса, 35